



2025.6

2025.5

2025.4

2025.3

2025.2

2025.1

2024.12

2024.11

2024.10

2024.9

QUANPIN XUANKAO FUXI FANG'AN

全品
选考

复习方案

主编：肖德好

地理
XJ

延边社

 延边教育出版社

作业手册

课时通关练

第 1 讲 地球与地图	299	第 18 讲 海洋与人类活动	357
第 2 讲 等高线地形图	301	真题演练 8 海水运动	360
真题演练 1 地球与地图	304	第 19 讲 植被与土壤	362
第 3 讲 宇宙中的地球	305	第 20 讲 自然环境的整体性	365
第 4 讲 地球的自转及其意义	308	第 21 讲 自然环境的地域差异性	368
第 5 讲 地球的公转及其意义	311	真题演练 9 整体性与差异性	371
真题演练 2 地球运动的地理意义	314	第 22 讲 自然灾害	373
第 6 讲 岩石圈物质循环	315	第 23 讲 地理信息技术的应用	376
第 7 讲 内力作用与地表形态	318	真题演练 10 自然灾害与防灾减灾	378
第 8 讲 外力作用与地表形态	321	第 24 讲 人口分布与人口迁移	379
第 9 讲 人类活动与地表形态	324	第 25 讲 人口增长与人口容量	382
真题演练 3 地表形态	327	真题演练 11 人口问题与发展	385
第 10 讲 大气的分层与受热过程	329	第 26 讲 城乡空间结构与区位	387
第 11 讲 大气热力环流与水平运动	332	第 27 讲 城乡景观与城镇化	390
真题演练 4 大气受热过程与运动	335	真题演练 12 城乡发展	393
第 12 讲 气压带和风带与季风环流	336	第 28 讲 农业区位因素	395
第 13 讲 气候类型	339	第 29 讲 农业布局	398
真题演练 5 气压带、风带与气候	342	真题演练 13 农业与可持续发展	401
第 14 讲 天气系统	344	第 30 讲 工业区位因素与工业布局	403
真题演练 6 天气现象分析	347	真题演练 14 工业与可持续发展	406
第 15 讲 水循环	348	第 31 讲 服务业的区位选择	408
第 16 讲 陆地水体间的相互关系	350	第 32 讲 交通运输与区域发展	411
真题演练 7 陆地水与水循环	353	真题演练 15 服务业与交通发展	414
第 17 讲 海水的性质及运动	354	第 33 讲 我国区域发展战略	416

第 34 讲 区域差异与区域联系	419	真题演练 17 区域治理与协作发展	441
第 35 讲 大都市的辐射功能	422	第 41 讲 资源、环境与人类活动	443
第 36 讲 资源枯竭型地区转型与产业结构优化	425	第 42 讲 耕地资源、水资源与国家安全	446
真题演练 16 区域城市发展与地区转型	428	第 43 讲 矿产资源、石油资源与国家安全 ...	449
第 37 讲 生态脆弱区的综合治理	429	第 44 讲 碳排放、自然保护区与国家安全 ...	452
第 38 讲 资源跨区域调配对区域发展的影响	432	第 45 讲 污染物跨境转移与国家安全	455
第 39 讲 流域协作开发与环境保护	435	真题演练 18 国家安全问题分析	458
第 40 讲 产业转移与“一带一路”倡议	438	第 46 讲 世界地理	460
		第 47 讲 中国地理概况	463
		第 48 讲 中国地理分区	466

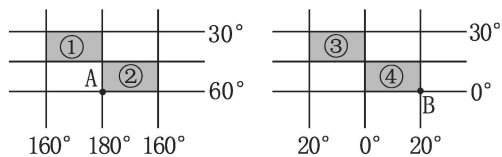
特色强化练

图形解读 1 地质构造图	469	答题突破 6 区域发展类综合题分析	479
图形解读 2 等压面图	470	热点压轴 1 地理图形的绘制	480
图形解读 3 河流流量曲线图	471	热点压轴 2 太阳视运动	481
图形解读 4 垂直自然带谱图	472	热点压轴 3 锋面气旋	482
图形解读 5 循环经济关联图	473	热点压轴 4 水量平衡原理	483
答题突破 1 地形特征的判读与描述	474	热点压轴 5 湖泊	484
答题突破 2 地貌形成过程的描述	475	热点压轴 6 人口问题	485
答题突破 3 气候特征的描述	476	热点压轴 7 城乡区位	486
答题突破 4 区域农业可持续发展问题	477	热点压轴 8 农业科学技术与产销特征	487
答题突破 5 区域工业发展综合分析	478	热点压轴 9 湿地	488

参考答案	490
------------	-----

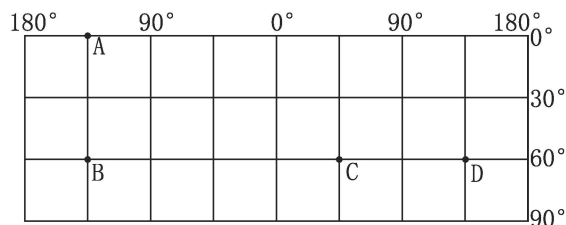
第1讲 地球与地图

[2023—2024·吉林通化辉南月考] 读局部经纬网示意图,完成1~3题。



1. 图中B点应位于 ()
A. 非洲 B. 北冰洋 C. 大西洋 D. 南美洲
2. A点位于B点的 ()
A. 西北方 B. 东南方 C. 东北方 D. 西南方
3. 图中阴影部分实际面积最大的是 ()
A. ① B. ② C. ③ D. ④

[2023—2024·宁夏六盘山阶段练习] 读经纬网图,完成4~5题。



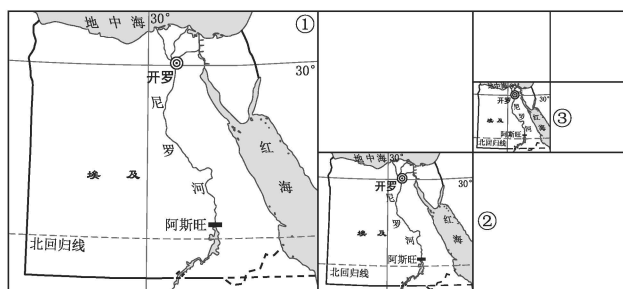
4. 设A、B两地和B、C两地之间的最短距离分别为L1和L2,则 ()
A. L1和L2相等 B. L1约为L2的一半
C. L2约为L1的1.5倍 D. L2约为L1的2倍
5. 若飞机从图中D地飞往B地,沿最短航线飞行,其方向是 ()
A. 一直向东
B. 先向西南,再向西北
C. 先向东南,再向东北
D. 一直向西

[2023—2024·江苏连云港模拟] 某外地司机初次送货到合肥市太湖路上的某公司。下图为该司机在望江路上看到的路牌(此附近街道规划为方格状)。据此完成6~7题。



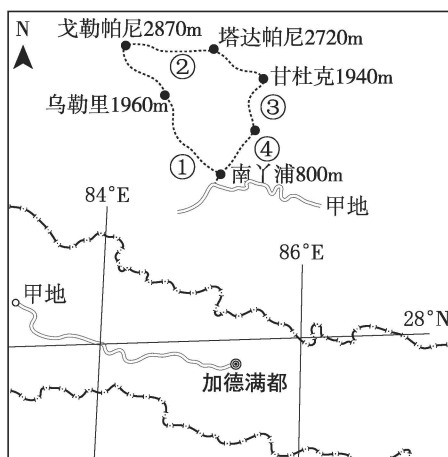
6. 该司机在此路口应开往的方向是 ()
A. 南 B. 北 C. 东 D. 西
7. 太湖路走向为 ()
A. 东西向 B. 南北向
C. 东南—西北向 D. 西南—东北向

[2023—2024·重庆巴南一诊] 下图为埃及地图,其中①②③图均表示同一区域,且其图幅依次减少3/4。读图,完成8~9题。



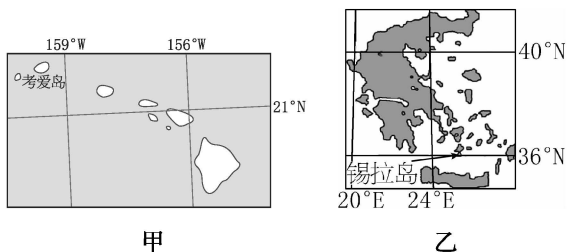
8. 若图①比例尺为1:N,则图②、图③的比例尺依次为 ()
A. 2:N、1:2N B. 1:2N、2:N
C. 2:N、4:N D. 1:2N、1:4N
9. 一架飞机走最短航线从开罗飞往杭州(120°E, 30°N),其飞行方向应该是 ()
A. 一直向正东方
B. 先向正北方,后向正南方
C. 先向东北方,后向东南方
D. 先向东南方,后向东北方

[2023·河北唐山一中月考] 尼泊尔拥有多条著名徒步旅行线路,是世界徒步旅行胜地。2019年10月,小明乘机抵达加德满都,然后乘汽车前往甲地,开始沿图示线路顺时针徒步旅行。下图示意旅行线路及行程安排。据此完成10~11题。



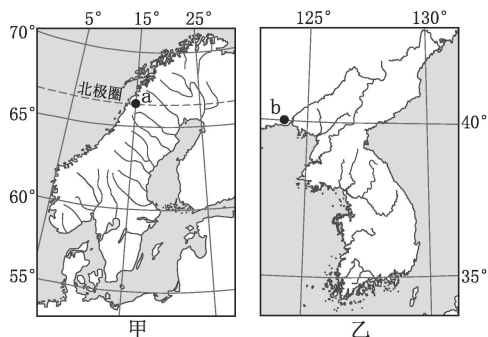
10. 若汽车时速为50千米,小明从加德满都前往甲地大约需要 ()
A. 2小时 B. 4小时
C. 6小时 D. 8小时
11. 北京时间12:00,小明在徒步前行中发现太阳位于自己的右前方,此时小明最可能位于 ()
A. ①处 B. ②处 C. ③处 D. ④处

[2023·河南洛阳模拟] 下图中,图甲、图乙分别示意夏威夷群岛中考爱岛和希腊的锡拉岛地理位置。据此完成12~13题。



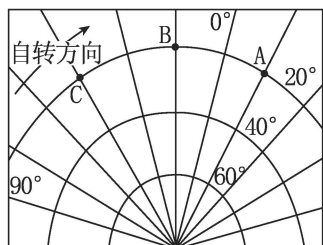
12. 与图甲相比,图乙 ()
 A. 比例尺大 B. 实地面积大
 C. 图幅面积大 D. 内容详细
13. 锡拉岛位于考爱岛的 ()
 A. 西南方 B. 西北方 C. 东北方 D. 东南方

[2023—2024·江苏连云港灌南质检] 图甲、图乙分别示意两个半岛的地理位置。读图完成14~15题。



14. 关于两图的叙述,正确的是 ()
 ①两图所示地区均位于东半球 ②两图所示地区属同一个大洲
 ③图甲所示地区范围较大,比例尺较小 ④图乙所示地区位于图甲所示地区的西南
 A. ①② B. ①③ C. ②③ D. ②④
15. 下列关于图中两个半岛地理特征的叙述,正确的是 ()
 A. b点所在半岛受地形影响,河流自西向东流动
 B. 两个半岛地形均以平原为主
 C. a点所在半岛纬度较高,冰川地貌广布
 D. 两个半岛西部均有高大山脉

16. (8分)[2023—2024·吉林长春月考] 读下图,完成下列问题。



- (1)图中A点的经纬度是_____。(2分)
 (2)B点在东、西半球中的_____半球。(2分)

(3)飞机由C点经B点到A点,飞机的飞行方向是_____。(2分)

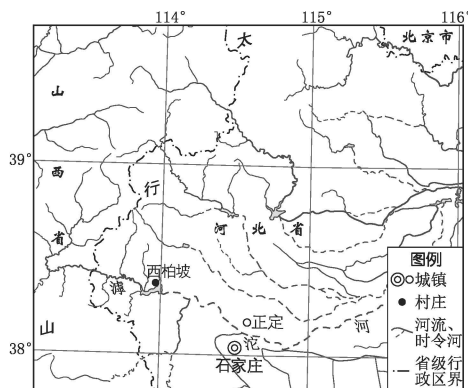
(4)若某人从C点出发,分别向东、向南、向西、向北走200千米,终点位于出发点的什么方向?(2分)

17. (12分)阅读图文材料,回答下列问题。

材料一 石家庄平山县西柏坡位于华北平原和太行山交会处,在一片向阳的马蹄状山坳里,三面环山,一面环水,西扼太行山,东临冀中平原,距石家庄约80千米。西柏坡一带村庄稠密,相距多在1~2千米,且沿滹沱河分布,依山傍水,滩地肥美,地宽粮丰,稻麦两熟。西柏坡所在的地区被称为“北方的鱼米之乡”。

材料二 西柏坡是解放战争时期中央工委、中共中央和解放军总部的所在地,是解放战争的“指挥中枢”,有“中国命运定于此村”的美誉。

材料三 下图为西柏坡区位图。

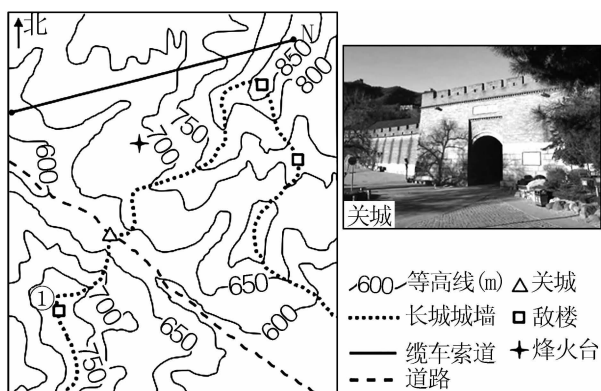


(1)描述西柏坡所在地区的地理位置特征。(6分)

(2)从地理角度分析当时西柏坡成为“指挥中枢”的原因。(6分)

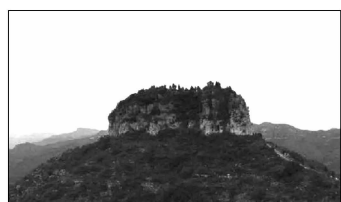
第2讲 等高线地形图

[2023—2024·河北张家口月考] 长城是中国古代军事防御工程,由城墙、敌楼、关城、烽火台等多种防御工事组成。“筑长城,因地形,用制险塞。”关城是长城防御建筑体系的重要组成部分,其位置至关重要。下图为某地长城景区等高线地形图及关城景观图。读图,完成1~2题。

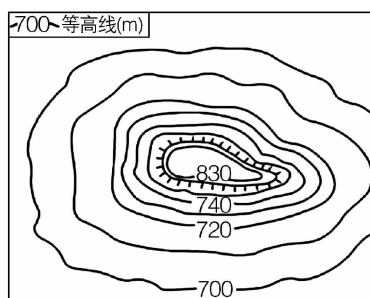


- 关城一般是行人进出长城的关口,据图推测关城多建在什么地形部位 ()
 A. 山顶 B. 山谷 C. 鞍部 D. 山脊
- 敌楼①与N之间的相对高差可能是 ()
 A. 48米 B. 140米
 C. 180米 D. 490米

仰天山风景区位于山东省青州城西南46千米处,主峰摩云岗海拔834米(图甲),为山东省十佳山岳型景区,图乙是摩云岗等高线地形图。据此完成3~4题。



甲

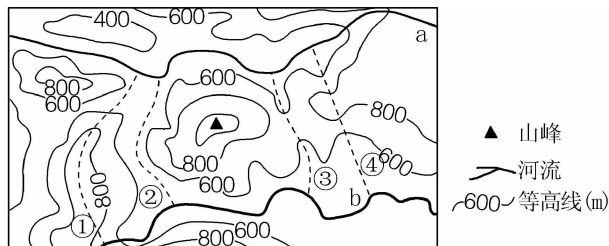


乙

- 摩云岗地貌形态特征及其成因是 ()
 A. 顶部较为平坦,风力沉积
 B. 顶部起伏连绵,风力侵蚀
 C. 周围峭壁如削,断裂抬升
 D. 周围丘谷相间,流水溶蚀

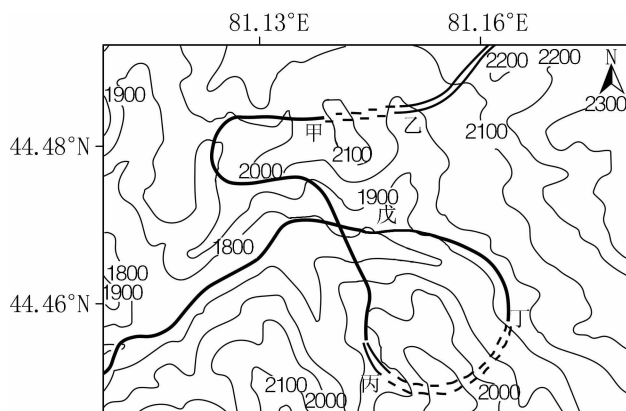
- 图中陡崖的相对高度可能是 ()
 A. 90米 B. 70米
 C. 50米 D. 30米

[2023—2024·吉林长春外国语学校月考] 读某地区地形图,完成5~6题。



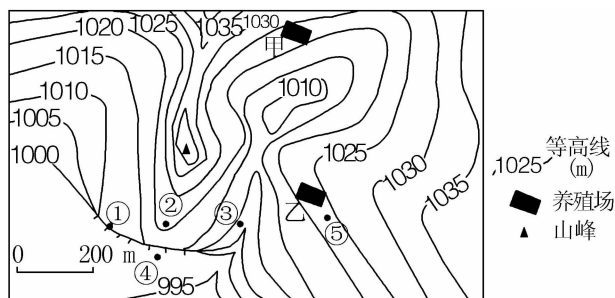
- 图中a、b两条河流 ()
 A. 均向东流
 B. a向西流,b向东流
 C. 均向西流
 D. a向东流,b向西流
- 该地区政府欲在a、b两河之间修建一条运河,把两河连接起来,图中四条线路可行的是 ()
 A. ① B. ②
 C. ③ D. ④

[2023—2024·黑龙江佳木斯一中月考] 下图为某公路山区的等高线地形图(粗实线为公路,虚线为公路隧道,单位:米)。据此完成7~8题。



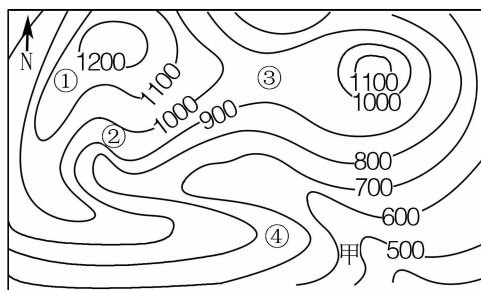
- 汽车在该公路行进途中起伏最和缓的路段是 ()
 A. 甲—丙段 B. 乙—甲段
 C. 丁—丙段 D. 戊—丁段
- 某航拍爱好者在6月22日对该区域进行航拍时发现,图中戊地公路两侧坡地上植被疏密差异大,原因是 ()
 A. 北坡光照充足,植被茂密
 B. 南坡降水较少,植被稀疏
 C. 北坡坡度较大,植被稀疏
 D. 南坡土壤湿润,植被茂密

[2023·福建师范大学附中月考] 下图为某区域等高线地形图,甲、乙两地建有养殖场。读图完成9~10题。

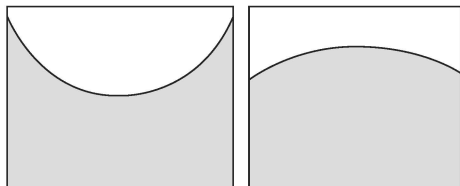


9. ①③④⑤四地中,在②地可以看到的是 ()
- A. ①③ B. ①⑤
- C. ③④ D. ④⑤
10. 若图中建有一小型水库,甲养殖场濒临水库最高水位,则 ()
- A. 水库最深为10~15米
- B. 水坝高度为15~20米
- C. 库区水面大于1平方千米
- D. 甲、乙两养殖场将污染水库

[2023—2024·黑龙江哈尔滨三中阶段练习] 下图为我国东部某地等高线示意图(单位:米)。据此完成11~13题。



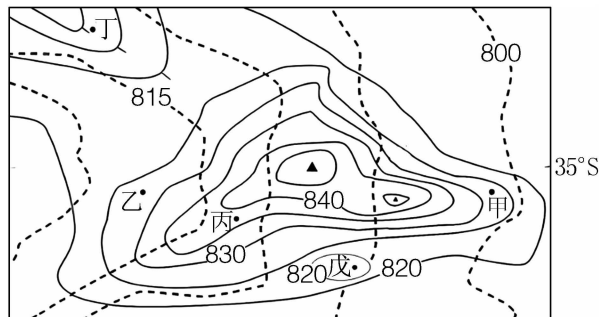
11. 图示区域最大高差H的范围是 ()
- A. 700米<H<900米
- B. 800米<H<1000米
- C. 1000米<H<1200米
- D. 1200米<H<1400米
12. 过图中某地作相互垂直的两条剖面线,剖面图如下,则该地是 ()



- A. ① B. ②
- C. ③ D. ④
13. 甲村庄的村民想要欣赏日出景观的最佳时间是 ()

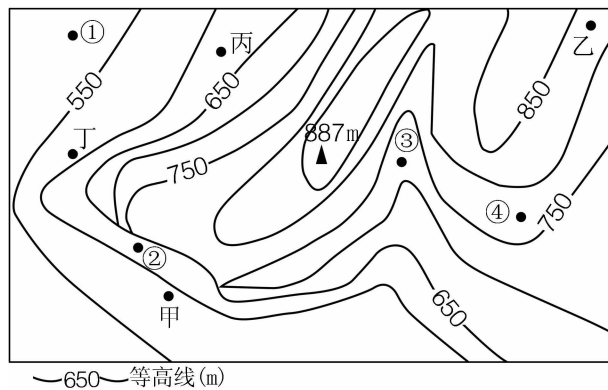
- B. 6月22日5:00
- C. 9月23日6:00
- D. 12月22日7:00

2023年暑假期间,我国某中学地理实践小组到南美洲西海岸某地开展地理研学活动,下图示意该地区的土壤表面等高线(实线,单位:米)和基岩表面等高线(虚线,单位:米)分布。据此完成14~15题。



14. 下列四地中土壤厚度最薄的是 ()
- A. 甲 B. 乙
- C. 丙 D. 丁
15. 图中戊处的海拔可能是 ()
- A. 825米 B. 823米
- C. 817米 D. 814米

16. (20分)[2023—2024·山西平遥月考] 一名猎人欲到某山地打猎。他熟悉动物的习性,知道山羊喜欢在陡峻的山崖活动,而水鹿被追赶过后,会寻找有水的地方喝水。读该山地等高线地形图,完成下列问题。



- (1) 猎人登上山顶,在甲、乙、丙、丁四地中可能看到猎物的地点是哪个? 说明理由。(10分)

(2)结合材料,分析猎人捕获山羊的地点最可能位于①②③④中的哪一处。(4分)

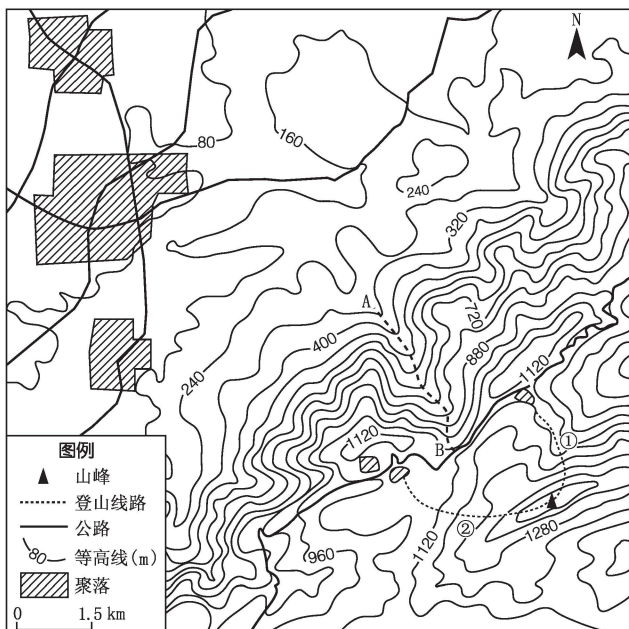
(3)结合水鹿的生活习性,说出猎人捕获水鹿的地点最可能位于③还是④,并结合图解释原因。(6分)

(1)说出图中 AB 线所示的地形部位名称,并简要说明判断依据。(4分)

(2)一组老人在①②两条徒步登山线路中,选择②线路登山。说出选择理由,并估算②线路的相对高度和水平距离。(6分)

(3)描述图示区域的地势特征。(4分)

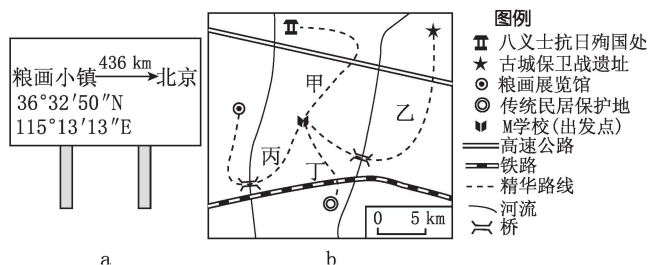
17. (20分)[2023—2024·江苏连云港灌南月考]
下图为我国某区域等高线地形图。读图,回答下列问题。



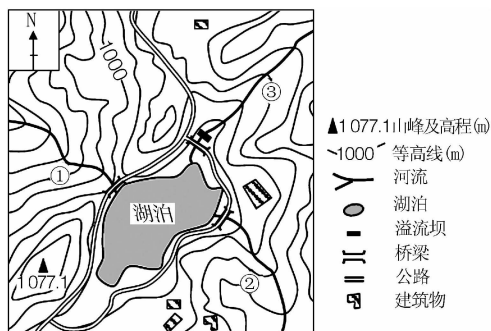
(4)概括图中东南部公路的分布特征并分析成因。(6分)

真题演练 1 地球与地图

[2021·北京卷] 我国某镇利用当地主产的粮食制作粮画,打造粮画小镇。图 a 是 M 学校设计的小镇地理位置指示牌,图 b 是该校设计的四条“行走的思政课”精华路线示意图。读图,回答 1~2 题。

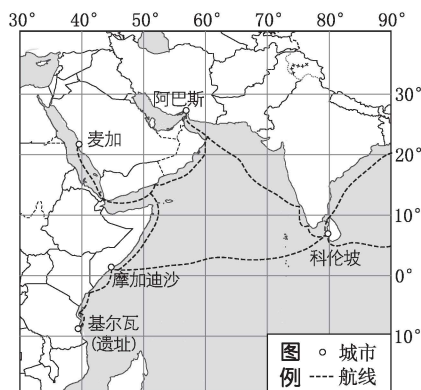


- 该镇 ()
 - 位于北京东南方向
 - 地处华北平原
 - 粮画原料主要是稻米
 - 水路交通便捷
- 图中最短的精华路线里程约为 ()
 - 5 千米
 - 10 千米
 - 15 千米
 - 20 千米
- [2022·上海卷] 下图为某山地(局部)等高线地形图,其中汇入湖泊的是 ()

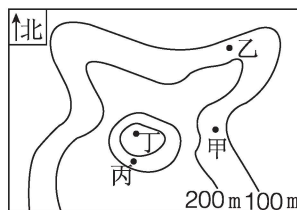


- ①②
- ①③
- ②③
- ①②③

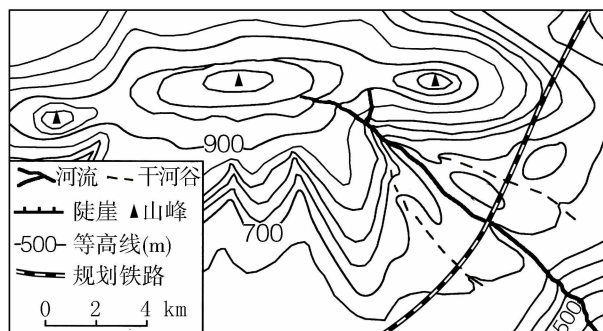
[2021·江苏卷] 公元 8 世纪开始,基尔瓦逐渐成为非洲东海岸的商贸中心。15 世纪初郑和船队曾从不同航线到达基尔瓦。17、18 世纪随着世界贸易格局不断改变,基尔瓦商贸地位逐渐衰落。1981 年基尔瓦所在地的遗址被列入世界遗产名录。下图为郑和船队航海路线示意图。据此完成 4~5 题。



- 公元 8 世纪基尔瓦作为商贸中心兴起时,其对外贸易的主要地区是 ()
 - 阿拉伯海沿岸
 - 南海沿岸
 - 几内亚湾沿岸
 - 地中海沿岸
- 郑和船队若每天航行 190 千米,从科伦坡经摩加迪沙至基尔瓦的最短时间约 ()
 - 2 周
 - 4 周
 - 6 周
 - 8 周
- [2021·上海卷] 已知杨梅多生活在阴坡,不需要过多的光照,同时需要一定的排水条件,请问余姚杨梅生长位置是 ()



- 甲
 - 乙
 - 丙
 - 丁
- (10 分)[2023·江苏卷] 某地规划的铁路穿过一冲积扇。下图为某地地形及规划铁路位置示意图。据此回答下列问题。



(1)在图中用给定图例符号标出陡崖位置,并写出判断理由。(4 分)

(2)从地貌角度,分析图中冲积扇区域建设铁路面临的不利条件。(6 分)

第3讲 宇宙中的地球

[2023—2024·陕西安康月考] 2022年6月5日,“神舟十四号”飞行乘组航天员开启为期6个月的在轨驻留,期间他们将在“天宫空间站”开展平台维护与照料、机械臂操作、出舱活动、舱段转移等工作以及空间科学实验、技术试验。完成1~2题。

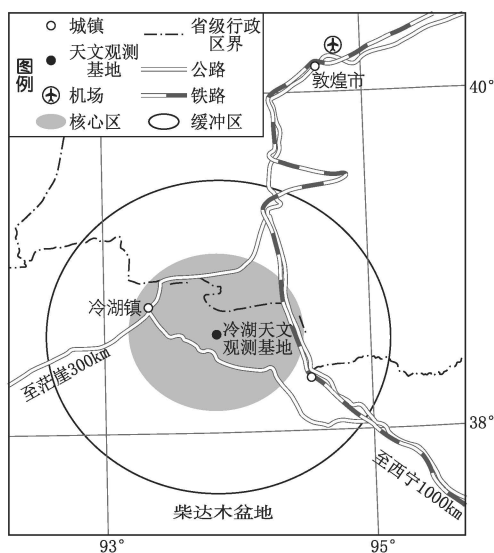
1. 在太空中沿预定轨道运行的“天宫空间站”属于 ()

- A. 天体
- B. 行星
- C. 恒星
- D. 彗星

2. 对宇航员出舱活动影响最明显的因素是 ()

- A. 太阳辐射
- B. 失重环境
- C. 剧烈高温
- D. 强风暴雨

[2023—2024·福建泉州月考] 世界一流的天文观测台址一般要远离灯光,避免电磁干扰,晴夜数量多,视宁度(取决于大气扰动程度)好。青海省北部冷湖镇海拔4200多米的赛什腾山区(下图),其天文观测条件可与世界一流天文观测台相媲美。冷湖赛什腾山区将建成世界级天文观测基地,并带动当地天文科技产业、民用航空产业、文创旅游业的发展,冷湖镇将不再“冷”。据此完成3~4题。



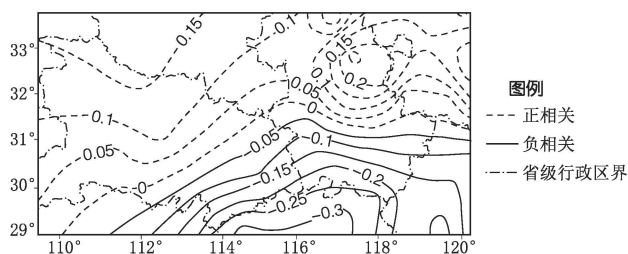
3. 该地区较常出现对冷湖天文观测影响最大的气象灾害是 ()

- A. 沙尘暴
- B. 寒潮
- C. 暴雪
- D. 暴雨

4. 冷湖镇将不再“冷”的优势条件是 ()

- A. 产业基础较好
- B. 后勤保障条件较好
- C. 科技水平较高
- D. 建设周期较短

[2023—2024·山东烟台月考] 下图为1954—2005年我国江淮地区太阳黑子数与梅雨强度的相关系数分布图。读图完成5~6题。



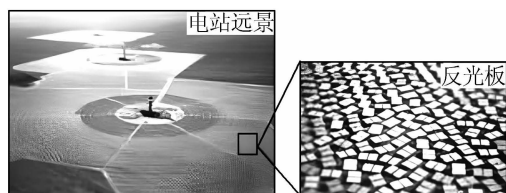
5. 太阳黑子数与梅雨强度 ()

- A. 在湖北省的东南部呈正相关
- B. 在安徽省的大部分地区呈负相关
- C. 在图中西北部的相关性最小
- D. 正相关最大值出现在图中东北部

6. 太阳黑子数达最大值时 ()

- A. 江淮地区梅雨强度增大
- B. 通信卫星信号易受干扰
- C. 漠河地区出现极昼现象
- D. 耀斑爆发强度减弱

太阳能光热电站(见下图)通过数以十万计的反光板聚焦太阳能,给高塔顶端的锅炉加热,产生蒸汽,驱动发电机发电。据此完成7~8题。



7. 我国下列地区中,资源条件最适宜建太阳能光热电站的是 ()

- A. 青藏高原
- B. 黄土高原
- C. 山东半岛
- D. 东南丘陵

8. 太阳能光热电站可能会 ()

- A. 提升地表温度
- B. 干扰飞机电子导航
- C. 误伤途经飞鸟
- D. 提高作物产量

[2023·湖南湘潭期末] 冰岛是欧洲第二大岛,全岛1.5%的面积被冰川覆盖,但冰岛是世界上地热资源最丰富的国家,85%的冰岛人口利用地热取暖。据此完成9~10题。

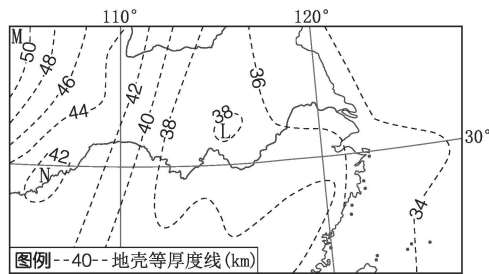
9. 地热是来自地球内部的一种能量资源,一般认为它主要是地球内部熔岩的热量向地表传递产生的,这些熔岩主要分布在 ()

- A. 地壳 B. 上地幔
C. 下地幔 D. 地核

10. 下列有关熔岩所在层与地壳间界面的说法,正确的是 ()

- A. 该界面为古登堡面
B. 该界面处只有地震波的纵波能够穿过
C. 该界面的地下深度在海洋上较大
D. 地震波向下经过该界面时传播速度明显加快

[2023·湖南长沙三校联考] 地壳均衡假说认为,低密度的地壳如同漂浮在水面上的木块,出露地上的高度与莫霍面深度具有相关性。下图为我国部分地区地壳等厚度线图,图中陆地相对高差为3000~4000米,海域深度小于1000米。据此完成11~12题。



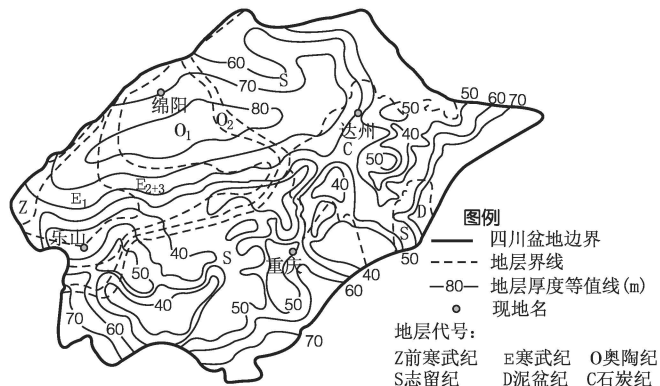
11. 关于图示区域莫霍面的描述,判断正确的是 ()

- A. 长江口夏季莫霍面下降
B. L地莫霍面距地面最近
C. N地莫霍面低于周边
D. 东部海洋莫霍面最浅

12. 图示区域莫霍面的相对高差可能是 ()

- A. 14千米 B. 17千米
C. 20千米 D. 23千米

[2023·江苏南京、盐城二模] 地层隆升的风化剥蚀作用使得整个古四川盆地在石炭纪末期基本呈现平原化地貌。在随后的二叠纪时期,地层由下而上形成了梁山组(以砂页岩为主)、栖霞组(以石灰岩为主)、茅口组(以石灰岩为主),区域环境持续演化。下图示意四川盆地二叠纪前古地质及二叠纪栖霞组某地层厚度等值线分布。据此完成13~15题。



13. 下列地点在二叠纪前相对隆升程度最大的是 ()

- A. 乐山 B. 绵阳
C. 重庆 D. 达州

14. 栖霞组地层厚度的分布特点及其形成的主要外力是 ()

- A. 西北厚、东南薄,流水堆积
B. 四周厚、中部薄,风力堆积
C. 西北厚、东南薄,海水堆积
D. 四周厚、中部薄,冰川堆积

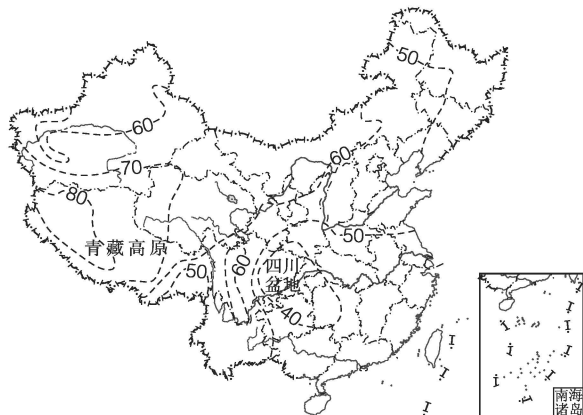
15. 该区域二叠纪时期地理环境的变化特征是 ()

- A. 金属矿产大量形成
B. 地壳先升后降
C. 朝着陆地环境演化
D. 气候趋于湿润

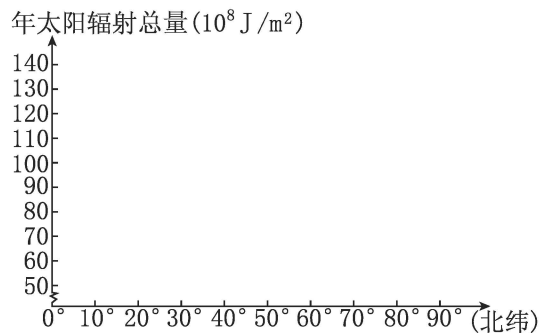
16. (12分)[2023—2024·江苏连云港月考] 阅读图文材料,回答下列问题。

影响太阳辐射的因素主要有纬度位置、天气状况和海拔高低等。下表为北半球大气上界太阳辐射分布统计表(单位:亿焦/米²),下图示意我国多年平均太阳辐射总量分布(单位:亿焦/米²)。

纬度	0°	10°N	20°N	30°N	40°N
年太阳辐射总量	131.7	129.9	124.5	115.8	104.1
纬度	50°N	60°N	70°N	80°N	90°N
年太阳辐射总量	90.1	74.9	62.6	56.4	54.8



(1)根据表中数据,绘制北半球大气上界太阳辐射随纬度分布曲线,并描述其分布规律。(4分)



(2)据图描述我国多年平均太阳辐射总量空间分布规律。(4分)

(3)分析四川盆地多年平均太阳辐射总量低的原因。(4分)

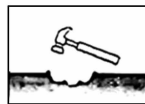
17. (12分)[2023·重庆南开中学质检] 阅读图文材料,回答下列问题。

2019年,一名攀岩爱好者在重庆歌乐山国家森林公园发现恐龙足迹化石,被专家鉴定为亚洲保存最完好的卡岩塔恐龙足迹。四川盆地是中国发现恐龙足迹化石最多的地区,它们大多保存于河湖相沉积岩石中,这与盆地的环境演变密切相关。

三叠纪,四川盆地边缘山地隆升,中部形成广阔的“巴蜀湖”。此后气候温暖湿润,植被繁茂。白垩纪末期,四川盆地岩层受到明显挤压,形成许多大断层,东部形成一系列背斜山和向斜谷。图甲为恐龙足迹化石的形成过程图。图乙为歌乐山恐龙足迹照片。

①恐龙在具有一定湿度、黏度、软度的地面留下足迹

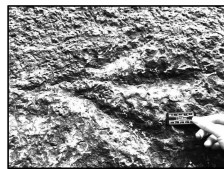
②恐龙足迹被淹埋



④足迹化石被人类发现

③经历强烈地壳运动

甲



乙

(1)结合地球演化历史的相关知识,指出植食性恐龙主要食物来源的植物类型,并说明判断理由。(2分)

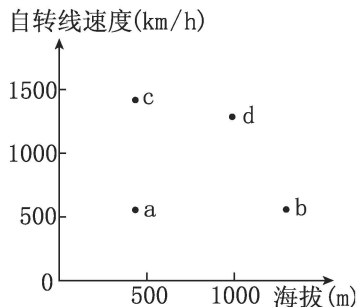
(2)四川盆地是中国发现恐龙足迹化石最多的地区,据图文材料说明其有利的形成条件。(7分)

(3)某中学地理兴趣小组开展歌乐山恐龙化石研学活动,请帮他们完善活动任务表。(3分)

基于恐龙足迹化石,本研学活动的主题是: _____ _____	(只答一项)
为了让游客了解恐龙化石,请为景区设计一些具体的科普方式: _____ _____	(只答一项)
随着时间推移,足迹化石会越来越模糊,请为景区提供一些保护建议: _____ _____	(只答一项)

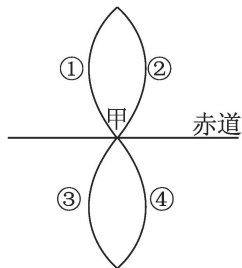
第4讲 地球的自转及其意义

[2023·河北保定联考] 高山滑雪是冬奥会的传统项目,风速、地形、地球自转速度变化都影响运动员的高水平发挥。下图示意崇礼(41°N,海拔500米)某教练训练计划中表示地球表面自转线速度及海拔高度的关联图。读图,完成1~2题。



1. a、b、c、d四个训练地中纬度最高的是 ()
A. a B. b C. c D. d
2. 该教练制定的训练计划要向全球教练员推广,为加强运动员对地球自转线速度影响的克服能力,下列说法可信的是 ()
A. 奥斯陆(60°N,海拔500米)教练应将训练场地放在低海拔处
B. 罗马(42°N,海拔100米)教练可将训练场地放在当地
C. 柏林(52°N,海拔10米)教练应将训练场地移向高纬度处
D. 悉尼(34°S,海拔100米)教练可将训练场地放在当地

[2023·河北沧州三模] 2019年4月20日22时41分,中国成功发射倾斜地球同步轨道卫星。由于地球是球体,倾斜地球同步轨道卫星沿着与赤道面有夹角的轨道运行,越接近赤道,卫星在南北方向上运行速度越快,在东西方向上运行速度越慢。下图示意沿着倾斜地球同步轨道运行的某颗北斗卫星在地表投影的轨迹。据此完成3~4题。

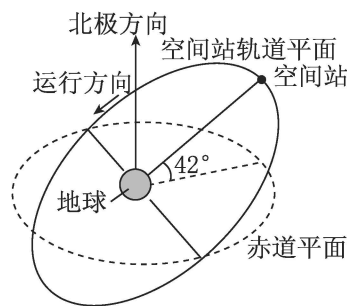


3. 该倾斜地球同步轨道卫星 ()
A. 发射时全球为同一天
B. 围绕北极点做匀速运动
C. 运行周期约为24小时
D. 运行轨道位于赤道上空

4. 该卫星经过赤道上的甲点后向北飞行,其轨迹依次是 ()

- A. ①②③④ B. ②①④③
C. ①②④③ D. ②①③④

[2023·广东茂名二模] 中国空间站在距离地表约400千米的接近北极方向的正圆轨道上运行,绕地球一圈约90分钟。空间站轨道平面与赤道平面的夹角约42°(如下图所示)。据此完成5~6题。



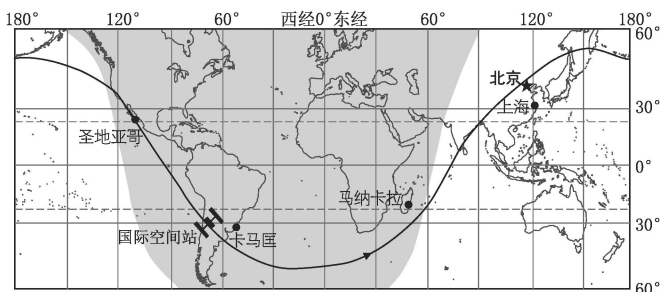
5. 在中国空间站上,航天员一天能看到日出的次数是 ()

- A. 4次 B. 8次 C. 16次 D. 24次

6. 下列城市中,中国空间站不能飞越其正上空的是 ()

- A. 北京 B. 上海
C. 新加坡 D. 莫斯科

[2023—2024·江苏南通月考] 国际空间站距地面约420千米,每90分钟环绕地球一周。空间站反射阳光,在一定条件下,人们肉眼可以看到明亮的光点划过天空。下图为国际空间站某时段轨迹和某时刻位置示意图,图中阴影表示黑夜。据此完成7~8题。

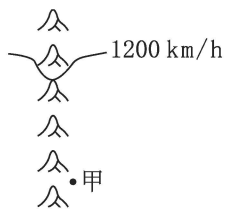


7. 此时刻新的一日约占全球 ()
A. 1/2 B. 5/12 C. 7/12 D. 1/6

8. 该日南通某学校师生计划开展肉眼观测国际空间站活动,最佳观测时间为 ()

- A. 正午 B. 子夜
C. 日出前 D. 日落前

[2023—2024·安徽合肥十校期中联考] 读某地区地球自转线速度分布示意图,完成9~10题。



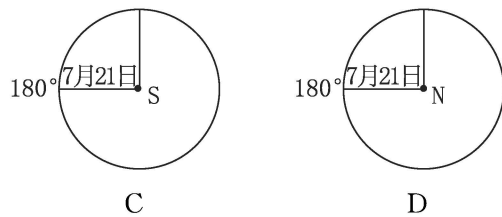
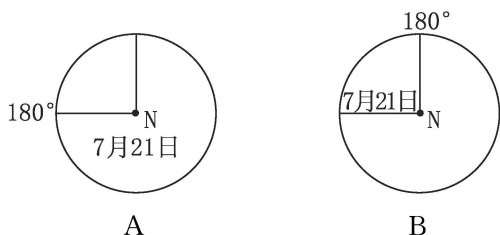
9. 图示山脉最可能位于 ()
 A. 南半球中纬度 B. 北半球中纬度
 C. 南半球高纬度 D. 北半球高纬度
10. 甲地发育有一条东西向的平直河流, 则侵蚀较严重的为其 ()
 A. 东岸 B. 南岸 C. 西岸 D. 北岸

[2023—2024·福建永安月考] 右图
 为某日晨线图, a、c 为晨线的顶点, b 点为
 晨线的中点, 晨线在地球上为西北—东南
 走向, b 点的经度为 50°E 。据此完成 11~
 12 题。

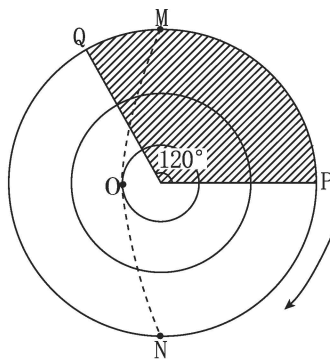
11. 根据图中信息, 判断此时有关各地时间的叙述,
 正确的是 ()
 A. 世界时可能是 2 时 40 分
 B. a 点地方时可能是 12 时
 C. b 点地方时可能是 14 时
 D. c 点地方时可能是 0 时
12. 假设一自然运动的物体从 a 点过 b 点到 c 点, 其
 运动过程中的方向偏转表现是 ()
 A. 向东—向西—向东
 B. 向西—向东—向西
 C. 向右—不偏转—向左
 D. 向左—不偏转—向右

据统计, 从 2021 年 7 月 18 日 8:00 开始, 河南
 省部分地区普降暴雨、特大暴雨, 重现期均超 5000
 年一遇, 7 月 21 日 2:00 暴雨渐小。据此完成
 13~14 题。

13. 与此次暴雨开始时间、结束时间皆保持同一天的
 城市是 ()
 A. 悉尼($34^{\circ}\text{S}, 151^{\circ}\text{E}$)
 B. 伦敦($51.5^{\circ}\text{N}, 0^{\circ}$)
 C. 莫斯科($56^{\circ}\text{N}, 37.5^{\circ}\text{E}$)
 D. 巴西利亚($15.7^{\circ}\text{S}, 47.8^{\circ}\text{W}$)
14. 暴雨渐小时, 表示全球新旧一天分布范围正确
 的是 ()



[2023—2024·黑龙江牡丹江月考] 下图中
 MON 表示晨昏线, 阴影部分表示 6 日, 非阴影部分
 与阴影部分的日期不同。据图完成 15~16 题。



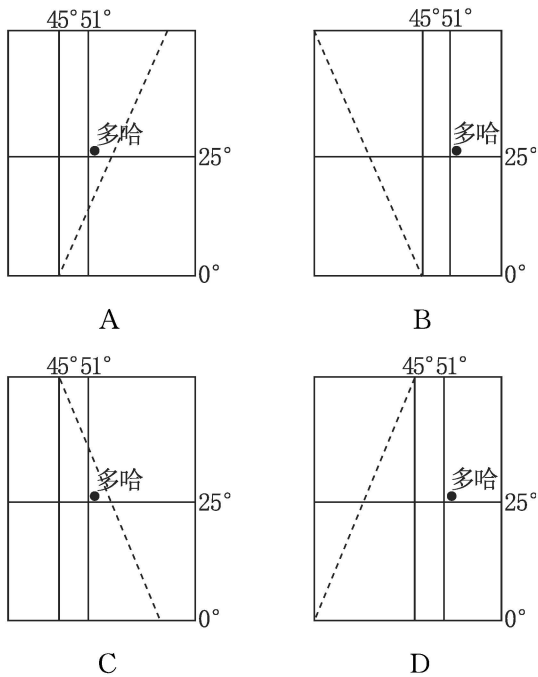
15. 下列叙述正确的是 ()
 A. MO 为昏线
 B. 此图为从北极点俯瞰
 C. 地球公转速度较快
 D. Q 点所在经线的地方时为 0 时
16. 此时伦敦(中时区)时间为 ()
 A. 6 日 23 时 B. 7 日 4 时
 C. 7 日 6 时 D. 6 日 20 时

[2023·广东实验中学三模] 2022 年卡塔尔世
 界杯决赛于当地时间(东三区)12 月 18 日 18 时
 在多哈($25^{\circ}15'\text{N}, 51^{\circ}34'\text{E}$)进行。上海的王先生及家
 人计划到现场全程观看决赛。下表示意王先生查询
 的从上海某机场至多哈机场的国际航班部分信息。
 据此完成 17~18 题。

航班	出发日期	起飞时间	飞行时间
①	12 月 17 日	16:45	9 小时 50 分钟(直 飞)
②	12 月 17 日	13:25	34 小时 35 分钟(含 转机时间)
③	12 月 18 日	16:45	9 小时 50 分钟(直 飞)
④	12 月 18 日	11:30	36 小时 5 分钟(含转 机时间)

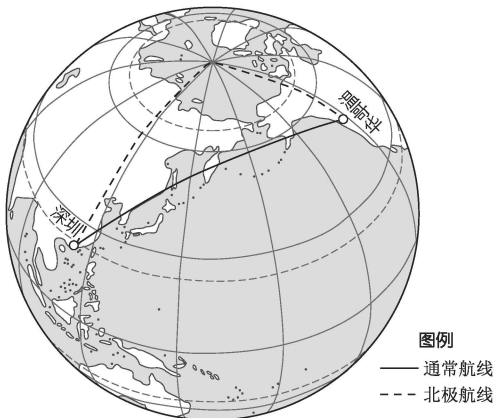
17. 根据航班信息, 推测王先生及其家人选择的航
 班是 ()
 A. ① B. ②
 C. ③ D. ④

18. 决赛开始时,地球表面的晨昏线(图中虚线)最接近 ()



[2023—2024·江西六校联考] 当地时间 2021 年 9 月 24 日,某乘客从加拿大温哥华(49°14'N, 123°05'W)到中国深圳(22°32'N, 114°03'E)。当日温哥华采用的是夏令时(时钟调快 1 小时)。下图为该乘客航班信息和飞行轨迹示意图(该航班沿北极航线飞行)。据此完成 19~21 题。

机号: ××××		
16:29	当地 温哥华	△ 13°
	跑道	登机口
	--□	--□
21:56	深圳	△ 32°
	跑道	转盘
	--□	--□
		图 385



19. 若飞机匀速、等高飞行,则沿通常航线单位时间内飞过的纬度差 ()

A. 持续变大 B. 先变大,后变小

C. 持续变小 D. 先变小,后变大

20. 该乘客乘坐的飞机大概飞行时长是 ()

A. 13 小时 27 分 B. 14 小时 27 分

C. 15 小时 27 分 D. 16 小时 27 分

21. 据上题,该机飞行平均速度(千米/时)最接近 ()

A. 960 B. 900

C. 840 D. 750

熬夜是指到深夜(一般指 24 时)还不睡或一夜不睡。美国洛杉矶市(经度约为 118°W)的约翰先生与中国北京市的韩先生进行网上业务交流,假定两市的工作时间都是当地地区时 8—20 时。据此回答 22~23 题。

22. 在工作时间内,两人可以同时上网进行业务交流的时段是 ()

- A. 北京时间 16—20 时
- B. 洛杉矶时间 8—20 时
- C. 北京时间 8—12 时
- D. 洛杉矶时间 16—22 时

23. 若其中一地的区时为 23 时时,两人准备结束网上聊天,这时有可能是 ()

- A. 约翰先生熬夜聊天
- B. 韩先生熬夜聊天
- C. 两人都熬夜聊天
- D. 两人都不熬夜聊天

[2023·河北保定三模] 2018 年 1 月 1 日,某航空公司 UA890 航班从上海出发,飞往圣弗朗西斯科(38°N, 120°W),最后抵达目的地的时间是 2017 年 12 月 31 日。下图示意该航班信息。据此完成 24~25 题。

UA890			
到达	→		
PVG	SFO		
上海浦东 T2	圣弗朗西斯科		
实际起飞	实际到达		
0:30 当地	当地 18:34		
计划1月1日0:15	计划12月31日19:20		
值机柜台	登机口	到站口	行李转盘
E	65	GEG...	-

24. UA890 航班的飞行时间为 ()

A. 18 小时 4 分钟 B. 13 小时 4 分钟

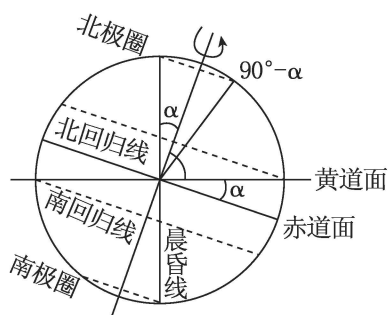
C. 11 小时 4 分钟 D. 10 小时 4 分钟

25. 航班到达目的地时,处于 2018 年的范围占全球的 ()

- A. 等于 1/2 B. 多于 1/2,少于 2/3
- C. 等于 2/3 D. 多于 2/3

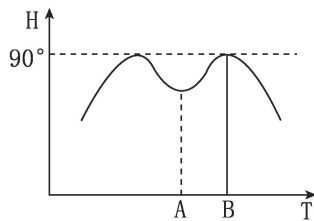
第5讲 地球的公转及其意义

[2023·辽宁锦州二模] 读下图,完成1~2题。



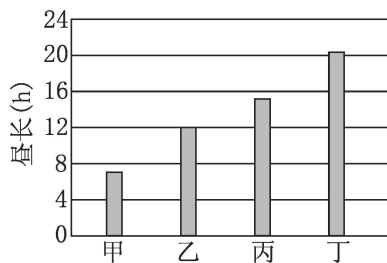
- 下列说法不正确的是 ()
 - 黄赤交角存在的原因是太阳直射点的回归运动
 - 黄赤交角的度数就是回归线的度数
 - 若太阳直射 15°N , 则 75°S 及其以南地区出现极夜
 - 夏至日晨昏线与经线的交角度数与黄赤交角相同
- 若其他条件不变, 黄赤交角缩小 10° , 下列说法正确的是 ()
 - 北半球热带的纬度范围扩大 10°
 - 北温带的纬度范围扩大 10°
 - 北寒带的纬度范围缩小 10°
 - 北京正午太阳高度角的季节变化幅度扩大 10°

[2023—2024·黑龙江牡丹江月考] 读某地一年内某时段正午太阳高度变化图(其中 A 对应的日期为 6 月 22 日), 完成 3~4 题。



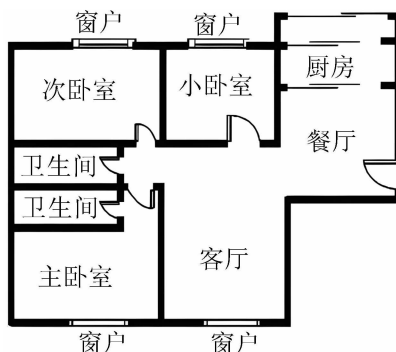
- 该地的纬度可能是 ()
 - 0°
 - 10°N
 - 10°S
 - 23.5°N
- 在 AB 区间内 ()
 - 该地一直昼长夜短
 - 地球公转速度一直在变快
 - 太阳直射点在南半球
 - 太阳直射点正在向北移动

某中学生利用假期上网查询了某日世界四个地点(甲、乙、丙、丁)的日出、日落时间, 并计算出昼长, 而后绘制了该日四个地点的昼长柱状图(如下图)。读图, 完成 5~7 题。



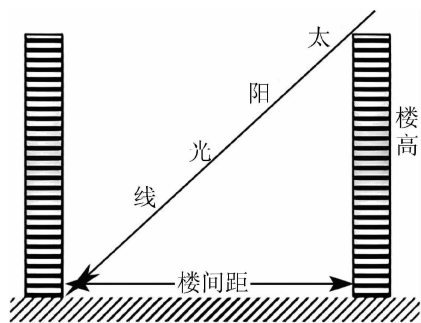
- 甲、乙、丙、丁四地所处纬度由低到高的排序是 ()
 - 甲、乙、丙、丁
 - 甲、乙、丁、丙
 - 乙、甲、丙、丁
 - 乙、丙、甲、丁
- 图中四地位于同一半球(南半球或北半球)的是 ()
 - 甲、乙
 - 乙、丙
 - 丙、丁
 - 甲、丁
- 该日, 乙地的日出与日落方向可能为 ()
 - 正东、正西
 - 东北、西南
 - 东北、西北
 - 东南、西北

[2023—2024·吉林长春月考] 家住海口市(20°N , 110°E)的张华随父母去看房, 选中面积为 120 平方米的一个方正户型。张华对楼间距和楼层都比较满意。下图为平面户型示意图。读图完成 8~9 题。



- 张华想在次卧室沐浴落日的余晖, 应该选择在 ()
 - 春分日
 - 夏至日
 - 秋分日
 - 冬至日
- 某日北京时间 6:30, 张华打开客厅窗户时刚好看到日出, 则当日日落时刻北京时间约为 ()
 - 17:02
 - 17:31
 - 18:31
 - 18:51

[2023—2024·山西晋中月考] 楼间距是房地产建设考虑的内容之一。下图为住宅区楼间距与太阳高度之间的关系示意图。读图,完成10~11题。



10. 为了考察我国北方住宅区一楼正午是否终年有阳光照射,最好的观察日期是 ()

- A. 冬至日 B. 春分日
C. 夏至日 D. 秋分日

11. 我国南方住宅区的楼间距理论上比北方要小,原因是 ()

- A. 南方人口稠密
B. 南方正午太阳高度比北方大
C. 南方的白昼时间比北方长
D. 南方气候更温暖潮湿

[2023—2024·广东湛江模拟] 某日我国M城市的中学生小强进行太阳视运动轨迹观测,北京时间13时小强观测到该日最大太阳高度角为 79° ,20时太阳高度角为 -1° 。据此完成12~13题。

12. 该日可能为 ()

- A. 春分日 B. 夏至日
C. 秋分日 D. 冬至日

13. 一年中,该地 ()

- ①冬至日夜长约为14小时
②冬至日昼长约为14小时
③夏至日夜长约为14小时
④夏至日昼长约为14小时
A. ①② B. ③④
C. ①④ D. ②③

[2023·湖南衡阳名校模拟] 2022年12月27日15时37分,太原($37^\circ27'N \sim 38^\circ25'N, 111^\circ30'E \sim 113^\circ09'E$)卫星发射中心使用“长征四号乙”运载火箭搭载“高分十一号04”卫星发射升空,卫星顺利进入预定轨道,为我国2022年的航天任务画上了圆满的句号。下图为工作人员拍摄的“高分十一号04”卫星发射场景图。据此完成14~15题。



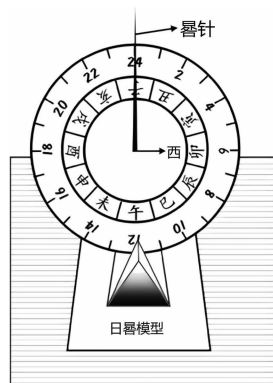
14. 卫星发射当天太原 ()

- A. 日出早于地方时6:00
B. 正午太阳高度接近一年中最大值
C. 昼长接近一年中最短时间
D. 自转线速度接近最大值

15. 拍摄者位于发射塔的 ()

- A. 西南方向
B. 东北方向
C. 西北方向
D. 东南方向

[2023—2024·河南商丘月考] 五一期间,某学校($30^\circ N, 105^\circ E$)开展“探索时间奥秘——日晷模型的制作研究”活动。日晷由晷盘和晷针组成,晷针垂直于晷盘,晷盘与赤道面平行。下图示意某学生完成的作品。据此完成16~18题。



16. 为验证古人的计时方法,该学生制作的模型,其晷盘与底座的夹角为 ()

- A. 75° B. 30° C. 60° D. $23^\circ26'$

17. 当日,该学生把模型正确放置在操场空旷处,可观测到日影在晷盘上移动,推测日影在晷盘上的位置及移动方向为 ()

- A. 正面、顺时针
B. 正面、逆时针
C. 背面、顺时针
D. 背面、逆时针

18. 当晷针影子落在盘面“午”字区间时,北京时间是 ()

- A. 9—11时
B. 10—12时
C. 11—13时
D. 12—14时

[2023—2024·河北沧州月考] 太阳方位角是太阳在方位上的角度,即从正北方向开始按顺时针沿着地平线测量的角度(正北为 0° ,正南为 180°)。下表示意某地某日不同时刻的太阳方位角(不考虑地形影响)。据此完成19~20题。

	北京时间	太阳方位角
日出	5:35	64°
	11:00	90°
日落	19:13	296°

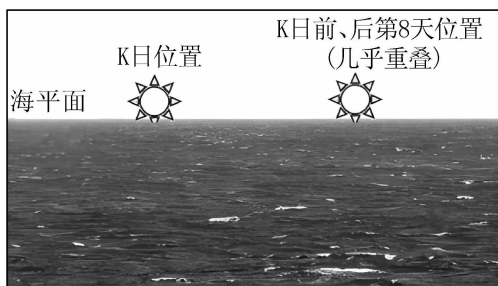
19. 该地当日正午前后太阳视运动的轨迹是 ()

- A. 东北—正南—西北
- B. 东北—正北—西北
- C. 东南—正北—西南
- D. 东南—正南—西南

20. 当日该地太阳位于正西方向时的北京时间是 ()

- A. 13:00
- B. 13:24
- C. 13:48
- D. 14:00

[2023—2024·山东潍坊模拟] 摄影爱好者在青岛(120°E,36°N)朝固定方向拍摄日出照片,拍摄时间分别为K日t1时刻、K日前第8天的t2时刻、K日后第8天t3时刻,t2与t3基本相同。下图为合成后的照片。据此完成21~22题。



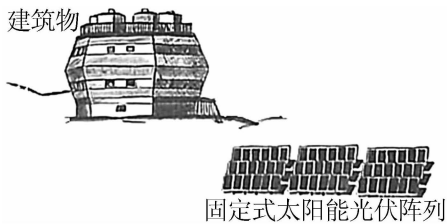
21. 摄影爱好者拍摄朝向和拍摄时刻早晚是 ()

- A. 东南,t1时刻略晚于t2时刻
- B. 东北,t1时刻略晚于t2时刻
- C. 东南,t1时刻略早于t2时刻
- D. 东北,t1时刻略早于t2时刻

22. 照片拍摄期间,青岛与海口(110°E,20°N)两地每天正午太阳高度的差值 ()

- A. 先变小,后变大
- B. 先变大,后变小
- C. 持续不断变大
- D. 始终保持不变

[2023—2024·福建厦门质检] 中国南极中山站(69°22'S,76°23'E)每年有58天的极夜期。为保护南极环境,中山站采用固定式太阳能光伏发电(下图),所发电力直接并入站区电网。该光伏阵列的倾角(光伏板与水平地面的夹角)根据当地光照条件最佳的3月确定。据此完成23~25题。



23. 图示光伏阵列的倾角最接近 ()

- A. 24°
- B. 44°
- C. 64°
- D. 84°

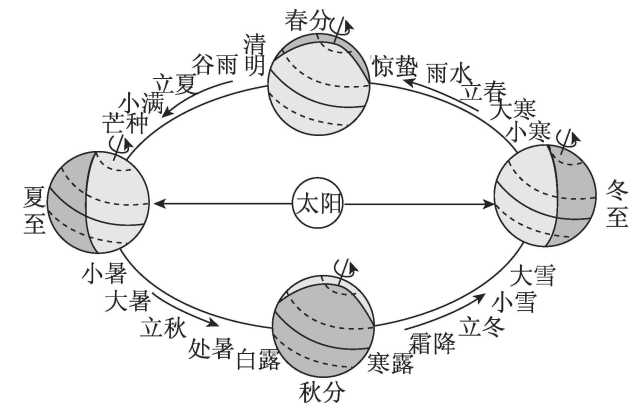
24. 极夜期过后,光伏组件开始工作。图示光伏阵列为站区供电大致始于每年 ()

- A. 5月25日
- B. 6月25日
- C. 7月25日
- D. 8月25日

25. 图示光伏阵列位于建筑物的 ()

- A. 东北方
- B. 西北方
- C. 东南方
- D. 西南方

[2023—2024·河南焦作月考] 二十四节气是中国历法的独特创造,几千年来对我国农牧业的发展起了很大推动作用。下图为二十四节气图。读图完成26~27题。



26. 下列农事活动中的谚语与“惊蛰”这一节气相吻合的是 ()

- A. 春雷响,农夫闲转忙
- B. 麦熟一晌,虎口夺粮
- C. 东风不倒,雨下不小
- D. 有霜有霜,晚稻受伤

27. 有关济南的描述,正确的是 ()

- A. 寒露较清明的夜更短
- B. 小寒较大寒日出时刻早
- C. 立春与立冬的正午太阳高度相同
- D. 夏半年与冬半年时间长度一样